



*Российская
академия наук*

ISSN 1026—3500

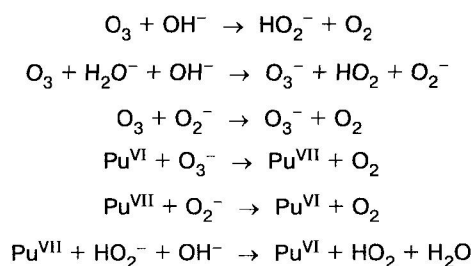
Известия Академии наук

Серия
химическая

2016 **10**
стр. 2315—2522

Механизм окисления Pu^{VI} озонном и другими реагентами в щелочных растворах

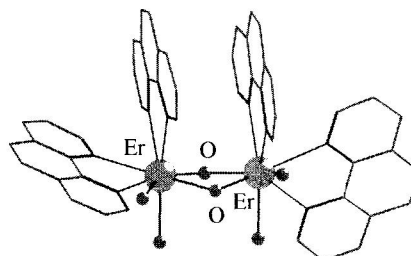
В. П. Шилов, А. В. Гоголев,
А. М. Федосеев, Б. Г. Ершов



Изв. АН. Сер. хим., 2016, № 10, 2351

Строение ионного кластерного комплекса [(Er(H₂O)₂(phen)₂(μ-OH))₂][Re₄Te₄(CN)₁₂] · 13H₂O

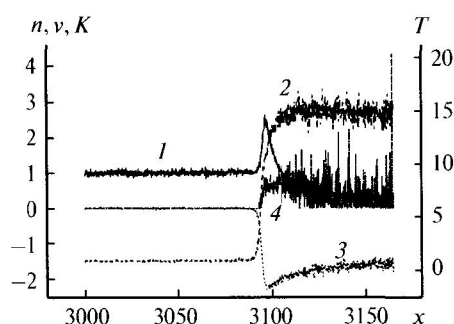
Ю. М. Литвинова, Я. М. Гайфулин,
Д. Г. Самсоненко, Ю. В. Миронов



Изв. АН. Сер. хим., 2016, № 10, 2355

Моделирование газовой детонации в канале постоянного сечения, инициируемой мгновенным нагревом торца, для смеси O + O₃ + He при различных концентрациях He и температурах нагретого торца

С. В. Куликов, О. Н. Терновая

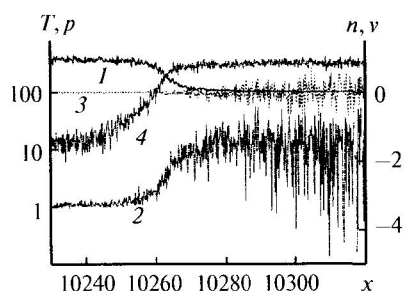


Профили параметров реагента А и коэффициента скорости прямой реакции (K) в момент времени $t = 4412.7$ при начальном отношении n_A, n_B и n_E 1 : 1 : 8; n_A (1); T_A (2); ν_A (3) и K (4) ($A = O, B = O_3$ и $E = He$).

Изв. АН. Сер. хим., 2016, № 10, 2358

Сверхравновесное увеличение скорости химической реакции во фронте и другие эффекты газовой детонации, численно моделируемой в канале при мгновенном нагреве торца

С. В. Куликов, О. Н. Терновая,
Н. А. Червонная

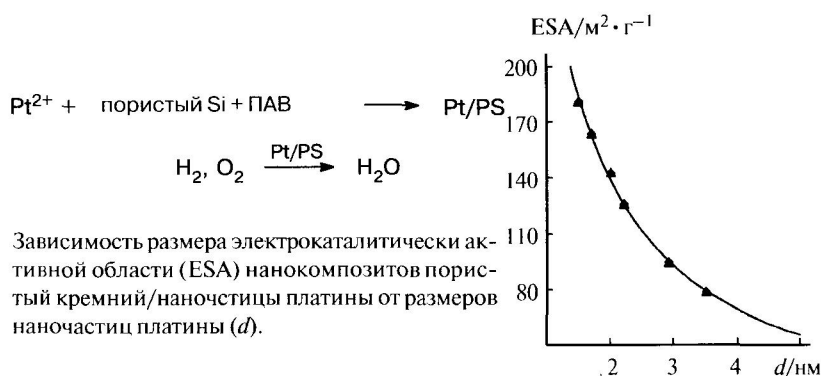


Детальная структура фронта для случая $Q_{AB} = 90kT_1$ в момент времени $t = 1250.1$: 1 — концентрация реагента (n_A), 2 — кинетическая температура (T_A), 3 — продольная скорость (ν_A) и 4 — давление (p).

Изв. АН. Сер. хим., 2016, № 10, 2362

Синтез и каталитическая активность нанокм-позитов платина/пористый кремний

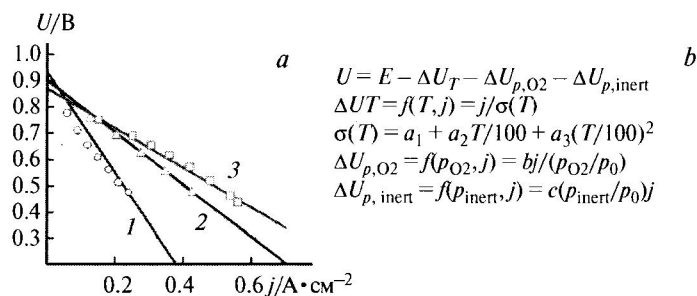
Н. А. Яштулов, В. О. Зенченко,
Н. В. Кулешов, В. Р. Флид



Изв. АН. Сер. хим., 2016, № 10, 2369

Моделирование электрохимических процессов в твердооксидном топливном элементе

И. С. Аверьков, А. В. Байков,
Л. С. Яновский, В. М. Волохов

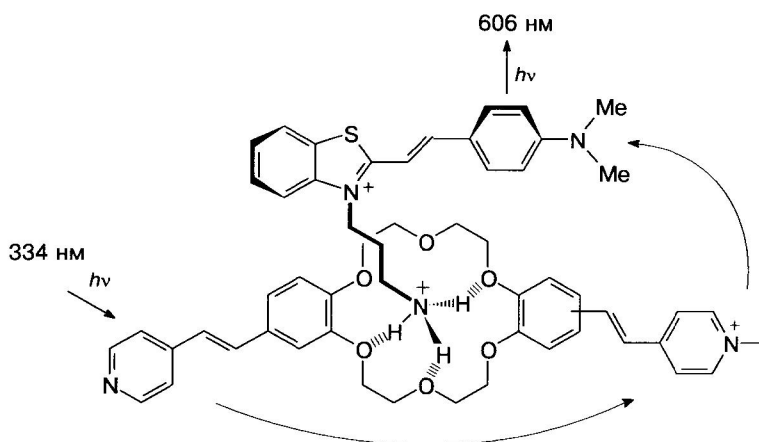


(a) Влияние температуры на вольт-амперную характеристику твердооксидного топливного элемента при постоянном коэффициенте использования топлива: 800 (1), 900 (2) и 1000 °С (3); точки — эксперимент, линии — расчет; (b) математическая модель вольт-амперной характеристики твердооксидного топливного элемента; U — напряжение на ячейке, E — электродвижущая сила.

Изв. АН. Сер. хим., 2016, № 10, 2375

Изучение фотоиндуцированного переноса энергии в супрамолекулярных ансамблях стирильных красителей

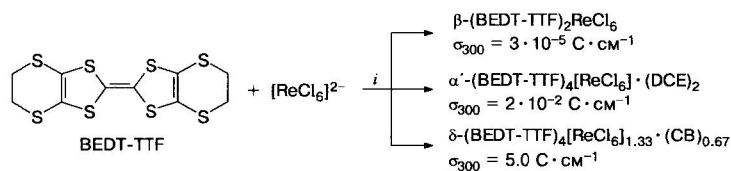
А. Ю. Лебедева, Т. Н. Леонтьев,
М. С. Ощепков, Н. Э. Шепель,
С. М. Перегудова, Ю. В. Федоров,
О. А. Федорова



Изв. АН. Сер. хим., 2016, № 10, 2381

Новые низкоразмерные молекулярные проводники на основе катион-радикальных солей бис(этилендитио)тетрагидрофульвалена с октаэдрическим металлокомплексным анионом $[\text{Re}^{\text{IV}}\text{Cl}_6]^{2-}$

С. С. Хасанов, А. В. Казакова,
А. О. Толстикова, С. В. Симонов,
Э. Б. Ягубский, Р. П. Шибаева

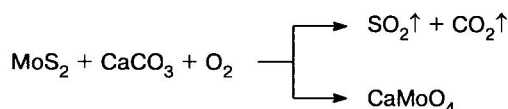


i. Электрокристаллизация

Изв. АН. Сер. хим., 2016, № 10, 2388

Окислительный обжиг молибденитового концентрата с образованием молибдата кальция при проведении процесса в режиме фильтрационного горения

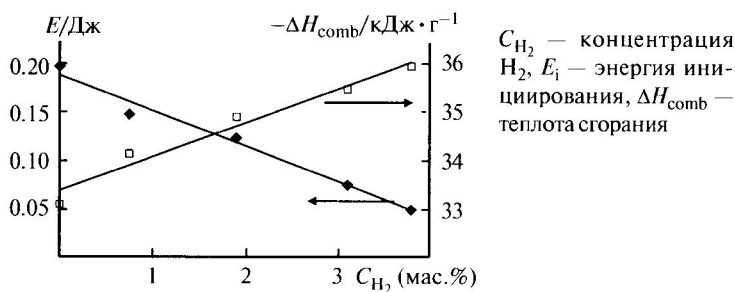
И. Ю. Гудкова, А. С. Вусихис,
Д. Б. Лемперт



Изв. АН. Сер. хим., 2016, № 10, 2396

Чувствительность к удару энергетических систем на основе нанопористого кремния и окислителя: влияние содержания водорода и удельной поверхности

Ю. М. Михайлов, В. А. Гаранин,
Ю. В. Ганин, Т. К. Гончаров,
Л. В. Ганина, Г. Г. Зегря

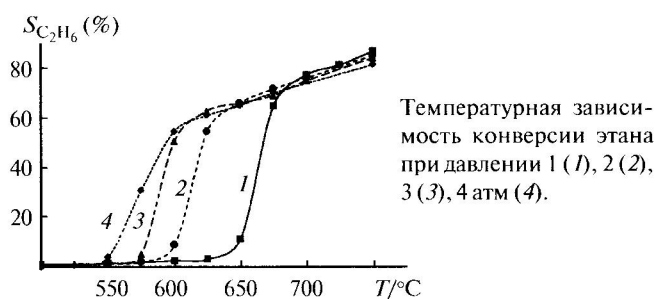


Изв. АН. Сер. хим., 2016, № 10, 2400

Влияние давления на закономерности окислительного крекинга легких алканов C_2-C_4

А. В. Никитин, А. С. Дмитрук,
В. С. Арутюнов

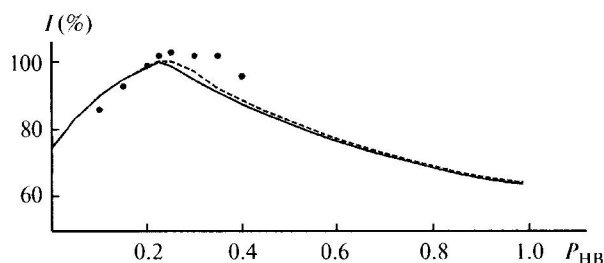
Изв. АН. Сер. хим., 2016, № 10, 2405



Вычисление состава продуктов детонации и оптимизация динамических характеристик смесевых взрывчатых веществ

В. А. Дубовицкий, Д. А. Нестеренко

Изв. АН. Сер. хим., 2016, № 10, 2411

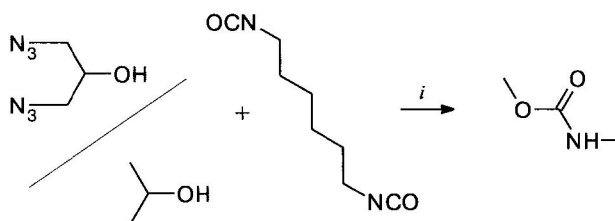


Зависимости относительного импульса (I) смеси тетранитрометана с нитробензолом (НБ) от доли НБ ($P_{НБ}$): сплошная линия — расчет по модели (1), штриховая — расчет по модели (3), точками указаны экспериментальные значения.

Влияние молекулярной организации раствора азидоспирта на кинетику реакций уретанообразования

С. В. Карпов, В. П. Лодыгина,
Г. В. Малков, Э. Р. Бадамшина

Изв. АН. Сер. хим., 2016, № 10, 2415

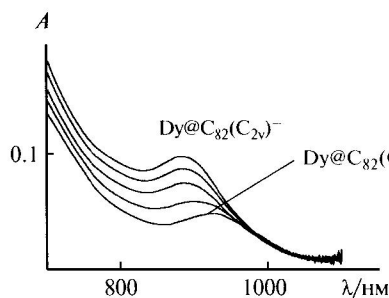


i . $[OH]/[NCO] = 1$, $[OH] = 0.05, 0.2, 0.8, 2.0$ г-экв. \cdot л $^{-1}$, концентрация дибутилдилаурината олова $0-0.002$ г-экв. \cdot л $^{-1}$; CH_2Cl_2 , нормальные условия.

Определение молярных коэффициентов экстинкции эндодрального металлофуллерена $Dy@C_{82}(C_{2v})$

И. Е. Кареев, В. М. Некрасов,
А. Е. Дутлов, В. П. Бубнов,
В. М. Мартыненко, Е. Э. Лаухина,
Дж. Весиана, К. Ровира

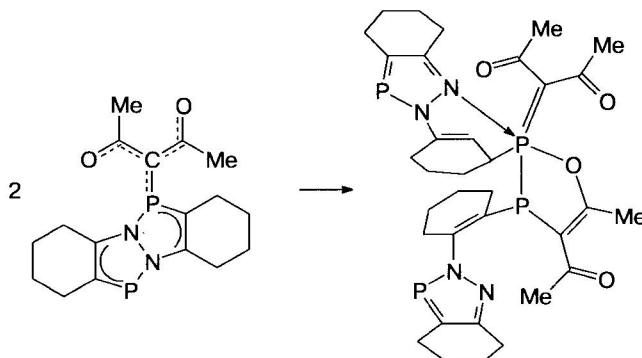
Изв. АН. Сер. хим., 2016, № 10, 2421



Аддукты двухкоординированного трехвалентного фосфора с карбенами

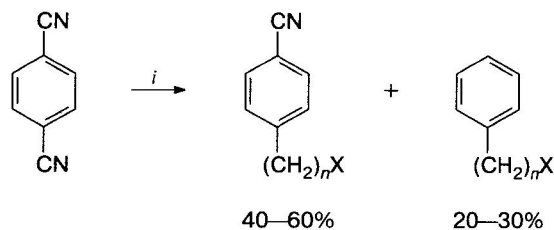
А. Н. Корнев, В. Е. Гальперин,
В. В. Сушев, Н. В. Золотарева,
Г. К. Фукин, А. В. Черкасов,
Г. А. Абакумов

Изв. АН. Сер. хим., 2016, № 10, 2425

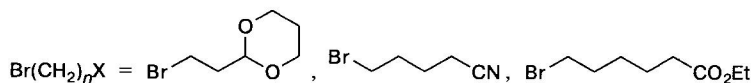


Синтез 4-(ω-X-алкил)бензонитрилов (X — 1,3-диоксан-2-ил, CN, CO₂Et) взаимодействием дианиона терефталонитрила с ω-X-алкилбромидом в жидком аммиаке

Р. Ю. Пешков, Ван Чуньянь,
Е. В. Пантелева, Е. В. Третьяков,
В. Д. Штейнгарц



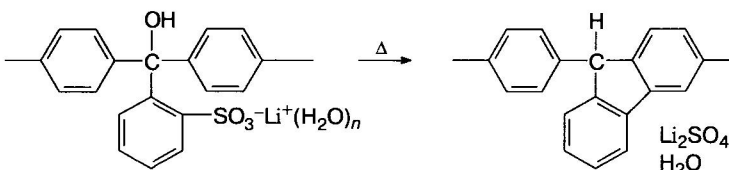
i. 1) 2.15–2.20 экв. Na, 2) 1.3 экв. Br(CH₂)_nX, NH₃, –33 °С, 1.5 ч.



Изв. АН. Сер. хим., 2016, № 10, 2430

О термостабильности литиевой соли полидифениленсульфоталида

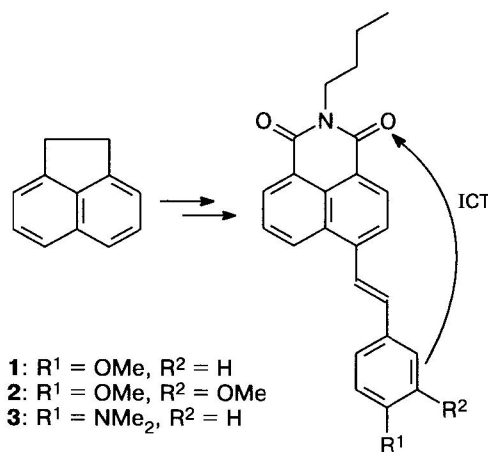
Н. М. Шишлов, Ш. С. Ахметзянов,
С. Л. Хурсан



Изв. АН. Сер. хим., 2016, № 10, 2437

Синтез и спектральные свойства флуоресцентных красителей на основе производных 4-стирил-1,8-нафталимида

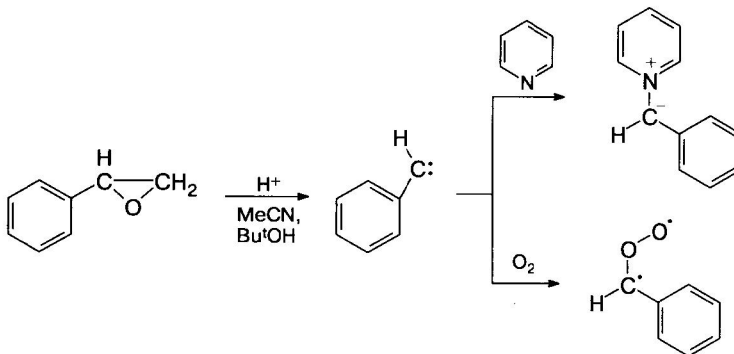
П. А. Панченко, А. Н. Архипова,
М. А. Захарко, Г. Йонушаускас,
Ю. В. Федоров, О. А. Федорова



Изв. АН. Сер. хим., 2016, № 10, 2444

Фенилметилен как промежуточная частица кислотно-катализируемого окисления эпоксида стирола

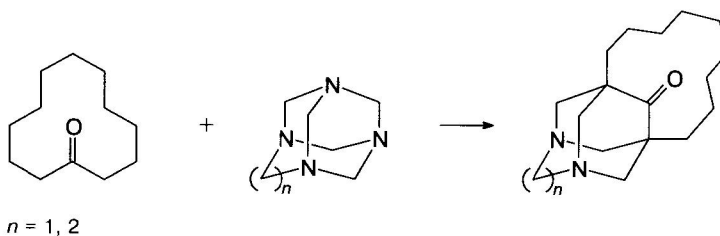
М. Г. Спиринов, С. Б. Бричкин,
Л. В. Петров



Изв. АН. Сер. хим., 2016, № 10, 2452

Синтез 5,7-нонаметилена-1,3-диазаадамantan-6-она

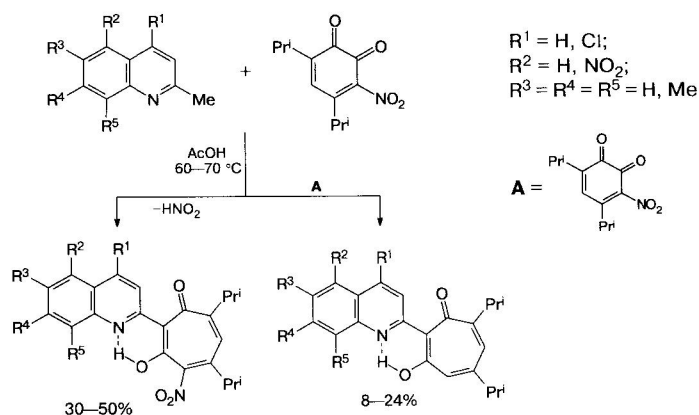
И. О. Разенко, Т. М. Серова,
А. И. Кузнецов



Изв. АН. Сер. хим., 2016, № 10, 2458

Синтез и молекулярное строение производных 5,7-диизопропил-2-(хинолин-2-ил)-1,3-трополонов

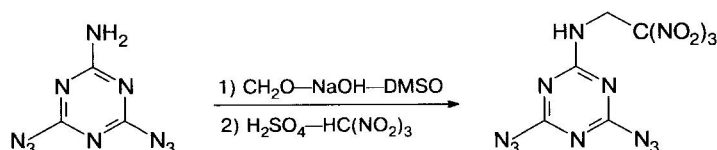
Ю. А. Саяпин, Зыонг Нгиа Банг,
Е. А. Гусаков, И. В. Дороган,
В. В. Ткачев, В. С. Горковец,
В. Н. Комиссаров, Зыонг Нгюк Тоан,
Нгуен Данг Дык, Г. В. Шилов,
С. М. Алдошин, В. И. Минкин



Изв. АН. Сер. хим., 2016, № 10, 2461

Синтез и изучение структуры 4,6-диазидо-2-(2,2,2-тринитроэтиламино)-1,3,5-триазина

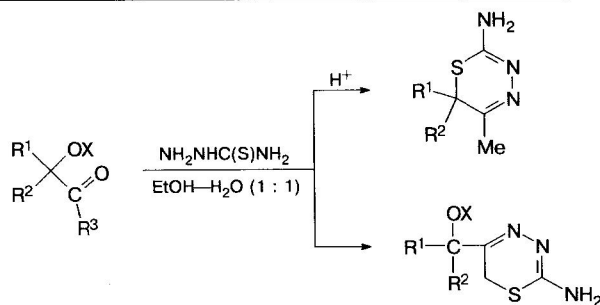
А. В. Шастин, А. Г. Корепин,
З. Г. Алиев, Д. В. Корчагин,
Н. М. Глушакова, В. С. Малыгина,
В. П. Косилко, В. П. Лодыгина,
Г. В. Лагодзинская, С. М. Алдошин



Изв. АН. Сер. хим., 2016, № 10, 2469

Гидроксикетоны в реакциях образования триазинового цикла

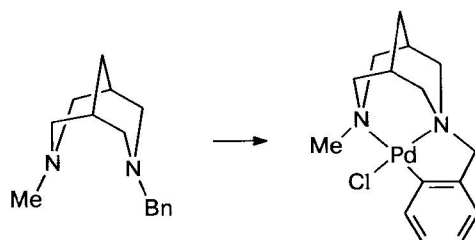
Э. Х. Пулатов, М. Д. Исобаев,
Б. Г. Мавлонов



Изв. АН. Сер. хим., 2016, № 10, 2475

Циклопалладиевый комплекс 3-бензил-7-метил-3,7-диазабисцикло[3.3.1]нонана

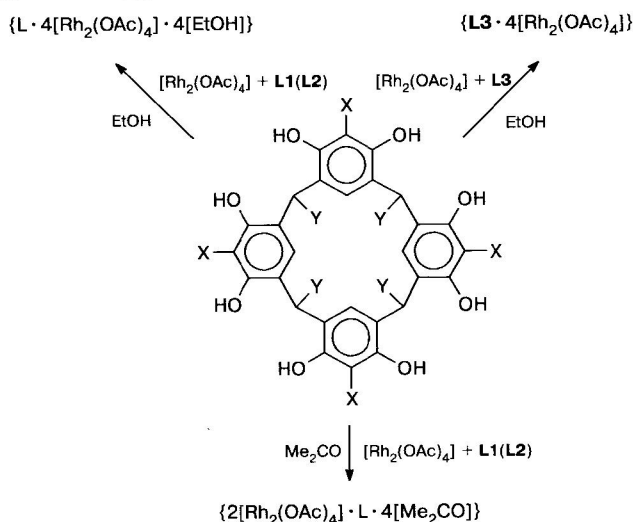
Л. А. Булыгина, Н. С. Хрушева,
А. С. Перегудов, В. И. Соколов



Изв. АН. Сер. хим., 2016, № 10, 2479

Комплексообразование дирода(II) с N-функционализированными калликс[4]резорцинами

Е. В. Гусева, Т. М. Буслаева,
Е. И. Гришин



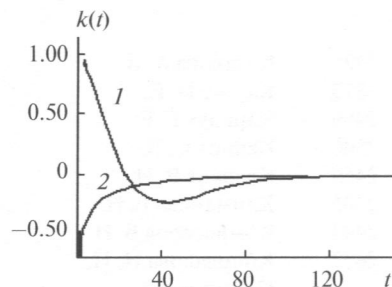
L1: $X = \text{CH}_2-\text{NMe}_2$, $Y = \text{Ph}$; L2: $X = \text{CH}_2-\text{NEt}_2$, $Y = \text{Ph}$;
L3: $X = \text{H}$, $Y = \text{Ar}-\text{NMe}_2$

Изв. АН. Сер. хим., 2016, № 10, 2485

Метод стимулированного эха для исследования структурных и динамических характеристик разветвленных полимеров

Т. П. Кулагина, Г. Е. Карнаух,
С. В. Курмаз, О. М. Вяселев

Изв. АН. Сер. хим., 2016, № 10, 2494



Корреляционная функция при различном распределении $P(N)$ цепей по длинам: гауссово (1) и экспоненциальное распределение (2).

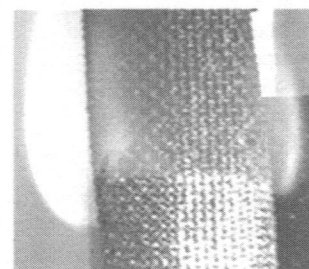
Особенности горения нитрата целлюлозы в балластрированных системах

Ю. М. Михайлов, В. В. Алешин,
В. И. Клевков

Изв. АН. Сер. хим., 2016, № 10, 2500



НЦ < 60%

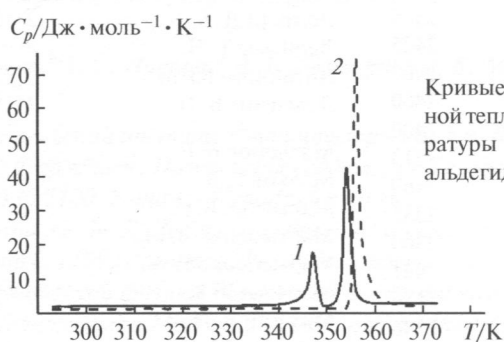


НЦ > 60%

Термофизические свойства модельных соединений структурного звена лигнина

Н. В. Шкаева, Д. С. Косяков,
Т. Э. Скребец, Ю. Н. Сазанов

Изв. АН. Сер. хим., 2016, № 10, 2504



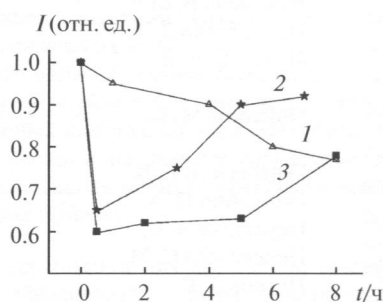
Кривые зависимости изобарной теплоемкости C_p от температуры для кониферилвого альдегида (1) и ванилина (2).

Краткие сообщения

Пути усиления хемосенсибилизирующего действия доноров оксида азота на опухолевые клетки при химиотерапии цитостатиками и гидроксамовыми кислотами. Сообщение 1. Изменения активности цитохрома P-450

Т. Н. Богатыренко, З. В. Куроптева,
Л. М. Байдер, И. В. Серков,
В. Р. Богатыренко, Т. Е. Сашенкова,
Е. Н. Климанова, Д. В. Мищенко,
Н. П. Коновалова

Изв. АН. Сер. хим., 2016, № 10, 2509

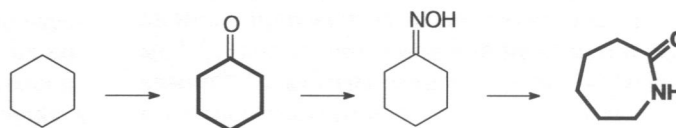


Динамика изменения интенсивности сигнала ЭПР (I) цитохрома P-450 ($g = 2.25$) в тканях печени мышей линии BDF1 под действием АГК (1), Ind-NO (2) и Ind-NO + АГК (3).

Информация

Циклогексанон в производстве капролактама. Проблемы и решения

Е. А. Мартыненко, И. Л. Глазко,
С. В. Леванова



Изв. АН. Сер. хим., 2016, № 10, 2513

Авторский указатель

Абакумов Г. А.	2425	Казакова А. В.	2388	Покидова Т. С.	2333
Аверьков И. С.	2375	Кареев И. Е.	2421	Пулатов Э. Х.	2475
Алдошин С. М.	2461, 2469	Карнаух Г. Е.	2494	Разенко И. О.	2458
Алешин В. В.	2500	Карпов С. В.	2415	Ровира К.	2421
Алиев З. Г.	2469	Клевков В. И.	2500	Сазанов Ю. Н.	2504
Арутюнов В. С.	2405	Климанова Е. Н.	2509	Самсоненко Д. Г.	2355
Архипова А. Н.	2444	Комиссаров В. Н.	2461	Сашенкова Т. Е.	2509
Ахметзянов Ш. С.	2437	Коновалова Н. П.	2509	Саяпин Ю. А.	2461
Бадамшина Э. Р.	2415	Корепин А. Г.	2469	Серков И. В.	2509
Байдер Л. М.	2509	Корнев А. Н.	2425	Серова Т. М.	2458
Байков А. В.	2375	Корчагин Д. В.	2469	Симонов С. В.	2388
Банг Зыонг Нгиа	2461	Косилко В. П.	2469	Симонов Т. Э.	2504
Богатыренко Т. Н.	2509	Косяков Д. С.	2504	Скребец Т. О.	2315
Богатыренко В. Р.	2509	Кузнецов А. И.	2458	Смирнов А. С.	2315
Бричкин С. Б.	2452	Кулагина Т. П.	2494	Смирнов С. П.	2479
Бубнов В. П.	2421	Кулешов Н. В.	2369	Соколов В. И.	2452
Булыгина Л. А.	2479	Куликов С. В.	2358, 2362	Спирин М. Г.	2425
Буслаева Т. М.	2485	Курмаз С. В.	2494	Сушев В. В.	2358, 2362
Весиана Дж.	2421	Куроптева З. В.	2509	Терновая О. Н.	2461
Волохов В. М.	2375	Лагодзинская Г. В.	2469	Ткачев В. В.	2461
Вусихис А. С.	2396	Лаухина Е. Э.	2421	Тоан Зыонг Нгюк	2388
Вяселев О. М.	2494	Лебедева А. Ю.	2381	Толстикова А. О.	2430
Гайфулин Я. М.	2355	Леванова С. В.	2513	Третьяков Е. В.	2381, 2444
Гальперин В. Е.	2425	Лемперт Д. Б.	2315, 2396	Федоров Ю. В.	2381, 2444
Ганин Ю. В.	2400	Леонтьев Т. Н.	2381	Федорова О. А.	2351
Ганина Л. В.	2400	Литвинова Ю. М.	2355	Федосеев А. М.	2369
Гаранин В. А.	2400	Лодыгина В. П.	2415, 2469	Флид В. Р.	2425
Глазко И. Л.	2513	Мавлонов Б. Г.	2475	Фукин Г. К.	2388
Глушакова Н. М.	2469	Малков Г. В.	2415	Хасанов С. С.	2479
Гоголев А. В.	2351	Малыгина В. С.	2469	Хрущева Н. С.	2437
Гончаров Т. К.	2400	Мартыненко В. М.	2421	Хурсан С. Л.	2362
Горковец В. С.	2461	Мартыненко Е. А.	2513	Червонная Н. А.	2425
Гришин Е. И.	2485	Маслова Л. К.	2315	Черкасов А. В.	2430
Гудкова И. Ю.	2396	Минкин В. И.	2461	Чуньянь Ван	2469
Гусаков Е. А.	2461	Мионов Ю. В.	2355	Шастин А. В.	2381
Гусева Е. В.	2485	Михайлов Ю. М.	2400, 2500	Шепель Н. Э.	2340
Дмитрук А. С.	2405	Мищенко Д. В.	2509	Шестаков А. Ф.	2388
Дороган И. В.	2461	Некрасов В. М.	2421	Шибяева Р. П.	2351
Дубовицкий В. А.	2411	Нестеренко Д. А.	2411	Шилов В. П.	2461
Дутлов А. Е.	2421	Никитин А. В.	2405	Шилов Г. В.	2437
Дык Нгуен Данг	2461	Ощепков М. С.	2381	Шишлов Н. М.	2504
Емельянова Н. С.	2333	Пантелеева Е. В.	2430	Шкаева Н. В.	2430
Ершов Б. Г.	2351	Панченко П. А.	2444	Штейнгарц В. Д.	2388
Захарко М. А.	2444	Перегудов А. С.	2479	Ягубский Э. Б.	2375
Зегря Г. Г.	2400	Перегудова С. М.	2381	Яновский Л. С.	2369
Зенченко В. О.	2369	Петров Л. В.	2452	Яштулов Н. А.	
Золотарева Н. В.	2425	Пешков Р. Ю.	2430		
Исобаев М. Д.	2475	Пивина Т. С.	2315		
Йонушаускас Г.	2444				